



УДК 543.422.25:547.458.057:577.114.012

## СИНТЕЗ И ИССЛЕДОВАНИЕ СПЕКТРОВ ЯМР И КОНФОРМАЦИЙ РАЗВЕТВЛЕННЫХ ОЛИГОСАХАРИДОВ. 16\*. СИНТЕЗ 3,4-ДИ-О-ГЛИКОЗИЛИРОВАННЫХ ПРОИЗВОДНЫХ МЕТИЛ- $\alpha$ -L-РАМНОПИРАНОЗИДА

© 1996 г. Е. А. Хатунцева, А. С. Шашков, Н. Э. Нифантьев<sup>#</sup>

*Институт органической химии им. Н.Д. Зелинского РАН, 117913, Москва, ГСП-1, Ленинский просп., 47*

Поступила в редакцию 29.11.95 г.

Гликозилированием метил-2-О-бензоил- $\alpha$ -L-рамнопиранозида, а также избирательно защищенных (1→3)- и (1→4)-связанных дисахаридных предшественников синтезирована серия 3,4-ди-О-гликозилированных производных метил- $\alpha$ -L-рамнопиранозида, содержащих при О-3 и О-4  $\alpha$ -D-манно-,  $\beta$ -D-глюко-,  $\alpha$ -L-рамно-,  $\beta$ -L-фукопиранозильные заместители.

*Ключевые слова:* разветвленные олигосахариды, <sup>13</sup>C-ЯМР-спектроскопия, синтез.

В рамках программы по синтезу и исследованию особенностей спектров ЯМР и конформаций вицинально разветвленных олигосахаридов, осуществляемой с целью дальнейшего развития компьютерного метода установления структуры полисахаридов [2, 3], ранее были синтезированы и изучены соединения с 2-аксиально, 3-экваториальным [1, 4–7] и 2,3-диэкваториальным разветвлением [8–11]. В продолжение этих работ нами проводится исследование 3,4-ди-О-гликозилированных производных метил- $\alpha$ -L-рамнопиранозы, представляющих собой 3,4-диэкваториально разветвленные структуры. Для получения сведений о закономерностях спектральных (<sup>13</sup>C-ЯМР) и конформационных характеристик в ряду указанных соединений необходимо исследовать широкую группу модельных разветвленных олигосахаридов, различающихся абсолютной и аномерной конфигурациями моносахаридных заместителей [4]. В качестве таковых нами выбраны разветвленные трисахариды (1–16), среди которых представлены соединения со всеми возможными комбинациями абсолютной и аномерной конфигураций моносахаридных остатков при О-3 и О-4. В данной работе мы описываем синтез трисахаридов (1–16), а также дисахаридных фрагментов (21) и (24). Другие дисахаридные фрагменты, соединения (17)–(20), (22), (23), были исследованы ранее [4, 12, 13].

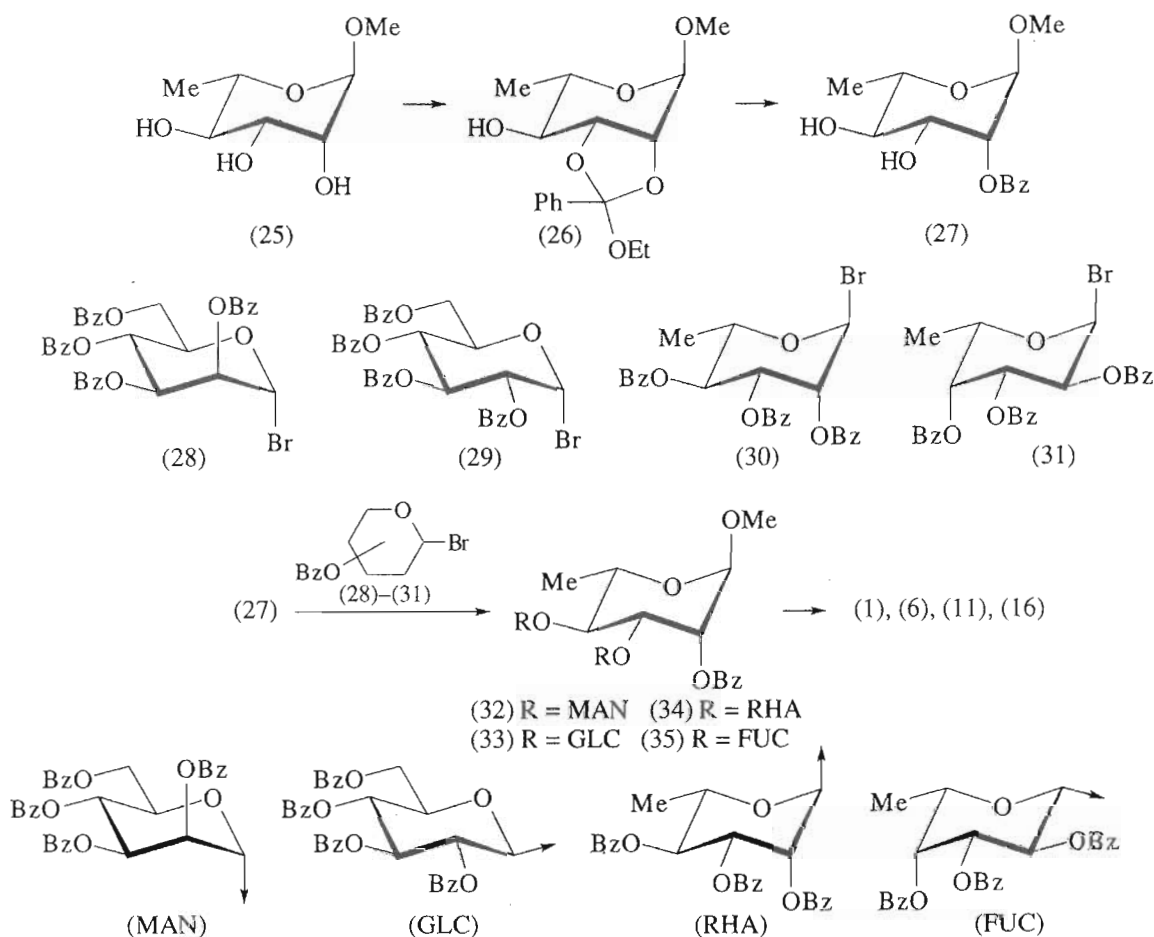
В качестве исходного соединения в синтезе трисахаридов (1), (6), (11) и (16), содержащих одинаковые моносахаридные остатки при О-3 и О-4 рамнопиранозильного фрагмента, нами использован метил-2-О-бензоил- $\alpha$ -L-рамнопиранозид (27), со-

державший свободные ОН-группы при С-3 и С-4. Диол (27) получен с общим выходом 80% взаимодействием метил- $\alpha$ -L-рамнопиранозида (25) с триэтилортобензоатом и дальнейшим региоселективным раскрытием образующегося бициклического ортоэфира (26) в условиях кислотного гидролиза. Положение бензоильной группы в (27) при О-2 подтверждалось характеристической слабополюсной величиной химического сдвига сигнала Н-2 (5.25 м. д.) в спектре <sup>1</sup>H-ЯМР рамнозида (27) (табл. 1).

|   |                 |                              |                 |
|---|-----------------|------------------------------|-----------------|
| $\begin{array}{l} \text{X-(1} \rightarrow \text{3)} \backslash \\ \alpha\text{-L-Rha-OMe} \\ \text{Y-(1} \rightarrow \text{4)} / \end{array}$ |                 |                              |                 |
| X   | Y               | X                            | Y               |
| (1) $\alpha$ -D-Man   | $\alpha$ -D-Man | (9) $\alpha$ -L-Rha          | $\alpha$ -D-Man |
| (2) $\alpha$ -D-Man   | $\beta$ -D-Glc  | (10) $\alpha$ -L-Rha         | $\beta$ -D-Glc  |
| (3) $\alpha$ -D-Man   | $\alpha$ -L-Rha | (11) $\alpha$ -L-Rha         | $\alpha$ -L-Rha |
| (4) $\alpha$ -D-Man   | $\beta$ -L-Fuc  | (12) $\alpha$ -L-Rha         | $\beta$ -L-Fuc  |
| (5) $\beta$ -D-Glc  | $\alpha$ -D-Man | (13) $\beta$ -L-Fuc          | $\alpha$ -D-Man |
| (6) $\beta$ -D-Glc  | $\beta$ -D-Glc  | (14) $\beta$ -L-Fuc          | $\beta$ -D-Glc  |
| (7) $\beta$ -D-Glc  | $\alpha$ -L-Rha | (15) $\beta$ -L-Fuc          | $\alpha$ -L-Rha |
| (8) $\beta$ -D-Glc  | $\beta$ -L-Fuc  | (16) $\beta$ -L-Fuc          | $\beta$ -L-Fuc  |
| X-(1→3)- $\alpha$ -L-Rha-OMe  |                 | Y-(1→4)- $\alpha$ -L-Rha-OMe |                 |
| X   |                 | Y                            |                 |
| (17) $\alpha$ -D-Man  |                 | (21) $\alpha$ -D-Man         |                 |
| (18) $\beta$ -D-Glc   |                 | (22) $\beta$ -D-Glc          |                 |
| (19) $\alpha$ -L-Rha  |                 | (23) $\alpha$ -L-Rha         |                 |
| (20) $\beta$ -L-Fuc   |                 | (24) $\beta$ -L-Fuc          |                 |

\* Сообщение 15 см. [1].

<sup>#</sup> Автор для переписки.



Бис-гликозилированием диола (27) с помощью 2,3,4,6-тетра-О-бензоил- $\alpha$ -D-манно- (28), 2,3,4,6-тетра-О-бензоил- $\alpha$ -D-глюко- (29), 2,3,4-три-О-бензоил- $\alpha$ -L-рамно- (30) и 2,3,4-три-О-бензоил- $\alpha$ -

L-фукопиранозилбромидом (31) в условиях реакции Гельфериха (табл. 2, оп. 1, 3, 4), а также при использовании трифлата серебра в качестве промотора гликозилирования (оп. 2) получены

**Таблица 1.** Данные спектров  $^1\text{H}$ -ЯМР соединений (27), (37), (38) и (47) ( $\text{CDCl}_3$ )  
а) Химические сдвиги ( $\delta$ , м. д.)

| Соединение | Остаток | H-1  | H-2  | H-3  | H-4  | H-5  | H-6  | OMe  |
|------------|---------|------|------|------|------|------|------|------|
| (27)       | Rha     | 4.69 | 5.25 | 3.64 | 3.50 | 3.65 | 1.31 | 3.34 |
| (37)       | Rha     | 4.61 | 3.92 | 3.67 | 3.53 | 4.96 | 1.03 | 3.28 |
|            | Fuc     | 4.67 | 5.78 | 5.58 | 5.72 | 4.22 | 1.32 |      |
| (38)       | Rha     | 4.72 | 5.48 | 4.19 | 3.65 | 3.73 | 1.20 | 3.32 |
|            | Fuc     | 4.90 | 5.83 | 5.58 | 5.74 | 4.21 | 1.34 |      |
| (47)       | Rha     | 4.58 | 3.69 | 3.78 | 3.54 | 3.74 | 1.38 | 3.34 |
|            | Fuc     | 5.79 | 5.91 | 5.68 | 5.75 | 4.52 | 1.28 |      |

б) Константы спин-спинового взаимодействия ( $J$ , Гц)

| Соединение | Остаток | $J_{1,2}$ | $J_{2,3}$ | $J_{3,4}$ | $J_{4,5}$ | $J_{5,6}$ |
|------------|---------|-----------|-----------|-----------|-----------|-----------|
| (27)       | Rha     | 2.0       | 4.0       | 11.0      | 11.0      | 6.5       |
| (37)       | Rha     | 1.5       | 3.5       | 8.5       |           |           |
|            | Fuc     | 7.5       | 10.0      | 3.0       | <1        |           |
| (38)       | Rha     | 1.5       | 3.5       | 10.0      | 10.0      | 6.5       |
|            | Fuc     | 7.5       | 10.5      | 3.0       | <1        | 6.5       |
| (47)       | Rha     | 1.5       | 3.5       | 8.5       | 8.5       |           |
|            | Fuc     | 3.5       | 10.0      | 3.5       | <1        |           |

Таблица 2. Результаты синтезов защищенных и деблокированных метилгликозидов олигосахаридов

| Опыт | Синтез защищенных олигосахаридов |                      |                           |                  |                     |   | Синтез свободных олигосахаридов |         |               |                             |
|------|----------------------------------|----------------------|---------------------------|------------------|---------------------|---|---------------------------------|---------|---------------|-----------------------------|
|      | Гликозил-акцептор, мг            | Гликозил-донор, экв. | Условия реакции, промотор | Продукт          | Выход, мг (%)       | $[\alpha]_D^*$ (CHCl <sub>3</sub> ), град | Масса исходного, мг             | Продукт | Выход, мг (%) | $[\alpha]_D^*$ (вода), град |
| 1    | (27), 70                         | (28), 3.5            | A, Hg(CN) <sub>2</sub>    | (32)             | 170 (47)            | -8  | 73                              | (1)     | 25 (98)       | +52                         |
| 2    | (27), 80                         | (29), 2              | B, AgOTf                  | (33)             | 327 (80)            | +76                                       | 166                             | (6)     | 57 (98)       | -22                         |
| 3    | (27), 70.5                       | (30), 2              | B, Hg(CN) <sub>2</sub>    | (34)             | 271 (90)            | +145                                      | 271                             | (11)    | 100 (94)      | -92                         |
| 4    | (27), 141                        | (31), 2              | A, Hg(CN) <sub>2</sub>    | (35)             | 298 (65)            | +190                                      | 92                              | (16)    | 35 (96)       | -29                         |
| 5    | (36), 88                         | (31), 1.5            | A, Hg(CN) <sub>2</sub>    | (37)**<br>(45)** | 177 (66)<br>47 (18) | -163<br>-258                              | 103                             | (24)    | 53 (98)       | -39                         |
| 6    | (38), 139.5                      | (31), 2              | A, Hg(CN) <sub>2</sub>    | (35)             | 140 (62)            |   |                                 |         |               |                             |
| 7    | (42), 133                        | (31), 1.5            | A, Hg(CN) <sub>2</sub>    | (43)             | 141 (83)            | -78.9                                     |                                 |         |               |                             |
| 8    | (38), 197                        | (28), 2              | A, Hg(CN) <sub>2</sub>    | (45)             | 146 (42)            | -34                                       | 140                             | (4)     | 50 (96)       | +4                          |
| 9    | (38), 215                        | (29), 3.5            | B, AgOTf                  | (46)             | 240 (63)            | -87                                       | 123                             | (8)     | 44 (98)       | -42                         |
| 10   | (42), 151                        | (30), 1.5            | B, Hg(CN) <sub>2</sub>    | (44)             | 241 (96)            | +39                                       | 241                             | (12)    | 92 (92)       | -66                         |
| 11   | (48), 185                        | (29), 3              | B, AgOTf                  | (49)             | 219 (69)            | -15                                       | 106                             | (2)     | 36 (92)       | -7                          |
| 12   | (48), 175                        | (30), 3              | B, Hg(CN) <sub>2</sub>    | (50)             | 276 (52)            | +36                                       | 95                              | (3)     | 35 (98)       | -56                         |
| 13   | (51), 239                        | (28), 2              | A, Hg(CN) <sub>2</sub>    | (52)             | 300 (73)            |   | 133                             | (5)     | 45 (92)       | -7                          |
| 14   | (51), 176                        | (30), 3.5            | B, Hg(CN) <sub>2</sub>    | (53)             | 163 (60)            | +44                                       | 144                             | (7)     | 55 (98)       | -76                         |
| 15   | (54), 150                        | (28), 2              | A, Hg(CN) <sub>2</sub>    | (55)             | 203 (74)            | +25                                       | 153                             | (9)     | 55 (95)       | -26                         |
| 16   | (54), 163                        | (29), 2              | B, AgOTf                  | (56)             | 277 (92)            | +56                                       | 172                             | (10)    | 61 (92)       | -119                        |
| 17   | (57), 150                        | (28), 2.5            | A, Hg(CN) <sub>2</sub>    | (58)             | 261 (94)            | -26                                       | 90                              | (13)    | 31 (90)       | +12                         |
| 18   | (57), 172                        | (29), 2              | B, AgOTf                  | (59)             | 302 (94)            | -65                                       | 78                              | (14)    | 29 (97)       | -83                         |
| 19   | (57), 132                        | (30), 2              | B, Hg(CN) <sub>2</sub>    | (60)             | 196 (88)            | +63                                       | 196                             | (15)    | 73 (94)       | -56                         |
| 20   |                                  |                      |                           | (61) [17]        |                     |   | 92                              | (21)    | 53 (93)       | +10                         |

\* Оптическое вращение измеряли при 26–29°C (с 1–2).

\*\* Выход после деизопропилиденирования (см. "Экспериментальную часть").

защищенные трисахариды (32)–(35) с выходами 47, 80, 90 и 65%. Сравнительно невысокий выход трисахариды (32) связан с тем, что гликозилирование диола (27) протекает недостаточно эффективно и требует большего избытка бензобромманнозы (28). Синтезированные соединения (32)–(35) были далее дебензоилированием переведены в целевые трисахариды (1), (6), (11) и (16).

Строение синтезированных трисахаридов (1), (6), (11) и (16), как и в случае других вицинально разветвленных олигосахаридов, синтезированных нами ранее [1, 4–6, 8, 9], было подтверждено на основании данных их спектров <sup>1</sup>H- и <sup>13</sup>C-ЯМР, которые будут опубликованы в отдельном сообщении\*. В частности, α-конфигурация маннопиранозильных и рамнопиранозильных остатков в соединениях (1) и (11) подтверждена характеристическими величинами химических сдвигов сигналов C-5 в спектрах <sup>13</sup>C-ЯМР, равных в случае

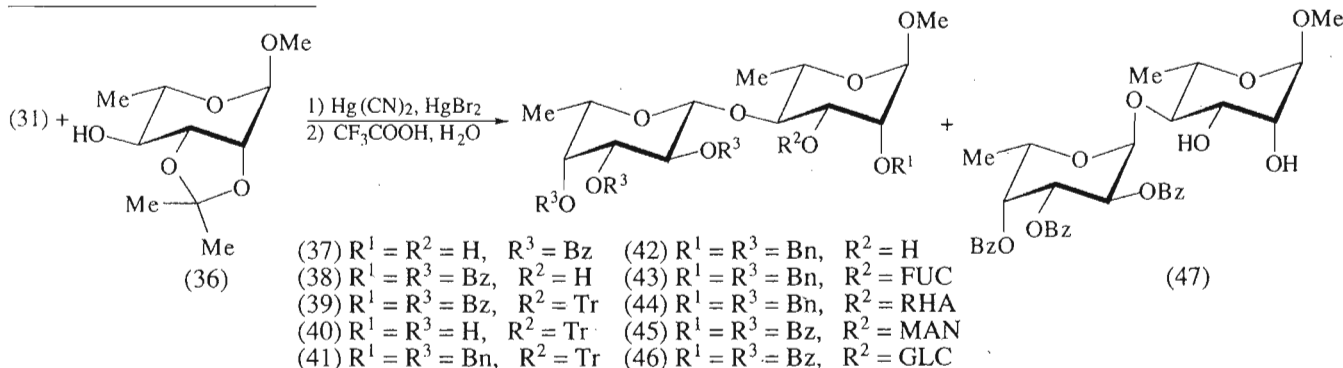
диманнозида (1) 74.8 м. д., а в случае дирамнозида (11) 70.6 и 70.9 м. д. β-Конфигурация глюкозных остатков в (6) и фукозных остатков в (16) установлена на основании характеристических величин соответствующих констант спин-спинового взаимодействия  $J_{1,2}$ , составлявших 7.5–8.0 Гц.

При гликозилировании диола (28) бензобромфукозой (31) наблюдалось образование ряда побочных продуктов, что, наиболее вероятно, связано с нарушением стереоизбирательности β-фукозилирования и образованием α-фукозилированных продуктов (ср. [14]). Поэтому нами была изучена возможность синтеза трисахариды (16) по схеме, альтернативной описанной выше и включающей ступенчатое наращивание олигосахаридной цепи, начиная с получения (1→4)-связанного дисахариды (37) и его избирательно защищенных моногидроксильных производных (38) и (42). Проведение такого исследования было важным и для отработки путей синтеза трисахаридов, содержащих остаток β-L-фукопиранозы при O-4 метилрамнозидного звена.

\* A.S. Shashkov, E.A. Khatuntseva, and N.E. Nifant'ev. Magn. Res. Chem. (1996). Направлено в печать.

Фукозилрамнозид (37) и его 1',2'-*цис*-связанный изомер (38) были синтезированы с выходами 65 и 17% гликозилированием метил-2,3-О-изопропилиден- $\alpha$ -L-рамнопиранозида (36) [15] бензобромфукозой (31) в условиях реакции Гельфериха и последующим гидролизом (табл. 2, оп. 5). Конфигурация фукопиранозильных остатков в

продуктах (37) и (38) установлена на основании величин КССВ  $J_{1',2'}$  в спектрах  $^1\text{H}$ -ЯМР (табл. 1), составляющих 7.8 и 3.5 Гц соответственно. Диол (37) был далее переведен в моногидроксильное производное (38) в условиях синтеза бензоата (27) из рамнозида (25).



Избирательно бензилированный дисахарид (42) был получен из тетрабензоата (38) в результате последовательности реакций [(38)  $\rightarrow$  (39)  $\rightarrow$  (40)  $\rightarrow$  (41)  $\rightarrow$  (42)], включавших тритилирование с помощью перхлората трифенилметилия в присутствии 2,4,6-коллидина [16] и последующие дебензоилирование, исчерпывающее бензилирование и детритилирование. Общий выход моногидроксильного производного (42) составил 87%. Из-за перекрытия сигналов (в области 3.50–4.50 м. д.) большинства кольцевых протонов, в том числе сигнала H-3, и протонов метиленового звена бензильных групп в спектре  $^1\text{H}$ -ЯМР соединения (42) нельзя было непосредственно подтвердить положение свободной OH-группы. Однако при обработке дисахарида (42) трихлорацетилизотиоцианатом в ампуле для ЯМР наблюдался слабополюный сдвиг только сигнала H-3 ( $\delta$  5.20 м. д.), что однозначно подтверждало положение OH-группы при C-3.

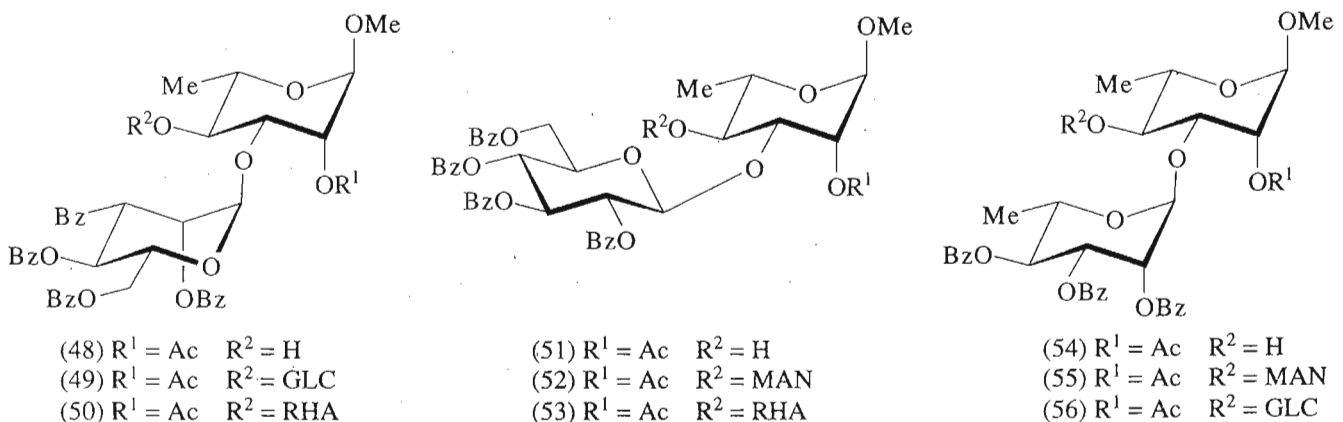
Гликозилированием тетрабензоата (38) фукозилбромидом (31) (табл. 2, оп. 6) был получен трисахарид (35) с выходом 62%, что сопоставимо с результатом фукозилирования диола (27). Однако

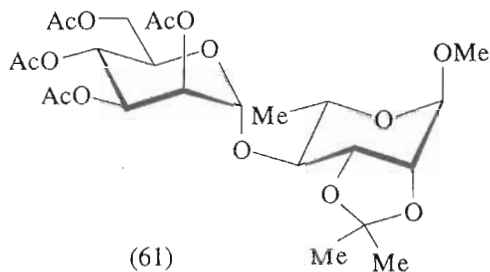
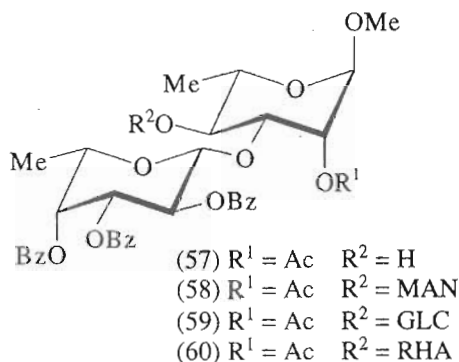
фукозилирование тетрабензильного производного (44) (оп. 7) протекало заметно эффективнее и приводило к трисахариду (45) с выходом 83%, что полностью соответствует наблюдавшемуся ранее [14] различию реакционной способности фукозил-акцепторов, содержащих BzO- и BnO-фрагменты рядом с гликозилируемой OH-группой.

Синтез трисахаридов (4), (8) и (12), содержащих при O-4  $\beta$ -L-фукопиранозильный остаток, был проведен гликозилированием дисахаридных предшественников (38) и (42) с помощью гликозилбромидов (28)–(30) (табл. 2, оп. 8–10) и последующим удалением защитных групп.

Синтез трисахаридов (2), (3), (5), (7), (9), (10) и (13)–(15) был проведен гликозилированием полученных нами ранее дисахаридных предшественников (46), (50), (54) и (58) соответствующими бензобромсахарами в условиях реакции Гельфериха (табл. 2, оп. 11–20) с последующим удалением защитных групп.

Дисахариды (21) и (24) получены после удаления защитных групп в производных (61) и (37) (табл. 2, оп. 20 и 5) соответственно.





## ЭКСПЕРИМЕНТАЛЬНАЯ ЧАСТЬ

Методики очистки растворителей и реагентов, условия съемки спектров ЯМР и определения физико-химических констант приведены в работе [4]. Оптическое вращение свободных олигосахаридов (1)–(16), (21) и (24) измеряли в воде, а защищенных производных – в хлороформе.

Хроматографию в тонком слое проводили на пластинках с силикагелем Kieselgel 60 (Merck), вещества обнаруживали опрыскиванием 50–70% серной кислотой с последующим нагреванием при  $\sim 150^\circ\text{C}$ . Системы растворителей для ТСХ: этилацетат–толуол, 1 : 8 (А); 1 : 4 (Б); 1 : 1 (В).

Колоночную хроматографию выполняли на силикагеле L 40/100 мкм (ЧСФР), используя градиентное элюирование от бензола к этилацетату.

Гликозилбромиды (28)–(31) были синтезируемы [4] из соответствующих сполна бензоилированных моносахаридов и использовались без специальной очистки. Цианид и бромид ртути(II) – препараты фирмы Merck; трифлат серебра синтезирован как описано ранее [17].

**Метил-2-О-бензоил- $\alpha$ -L-рамнопиранозид (27).** Смесь 1.03 г (5.78 ммоль) метил- $\alpha$ -L-рамнопиранозид (25), 5 мл (23 ммоль) триэтилортобензоата (Fluka), 10 мг  $\text{TsOH} \cdot \text{H}_2\text{O}$  и 3 мл  $\text{DMF}$  перемешивали 3 ч при комнатной температуре до полного превращения исходного (25) (контроль с помощью ТСХ,  $R_f 0 \rightarrow 0.60$  (В)) в ортоэфир (26). Прибавляли 8 мл 80% уксусной кислоты и выдерживали 1 ч до окончания образования 2-бензоата (27). Смесь разбавляли хлороформом (10 мл), промывали водой (10 мл), насыщенным водным раствором соды ( $3 \times 20$  мл) и водой ( $2 \times 20$  мл), фильтровали через слой ваты и концентрировали. Из остатка колоночной хроматографией при градиентном элюировании от хлороформа к этанолу (10%) выделяли 2-бензоат (27). Выход 1.289 г (80%), сироп,  $[\alpha]_D^{27} +9^\circ$  (с 1),  $R_f 0.32$  (В). Спектр  $^1\text{H}$ -ЯМР приведен в табл. 1.

**Метил-4-О-(2,3,4-три-О-бензоил- $\beta$ -L-фукопиранозил)- $\alpha$ -L-рамнопиранозид (37) и метил-4-О-(2,3,4-три-О-бензоил- $\alpha$ -L-фукопиранозид)- $\alpha$ -L-рамнопиранозид (47).** Смесь 88 мг (0.4 ммоль)

рамнозида (36), 152 мг (0.6 ммоль) цианида ртути, 30 мг бромида ртути, молекулярных сит 4 Å и 3 мл абсолютного ацетонитрила перемешивали 45 мин при  $20^\circ\text{C}$  в атмосфере сухого аргона. Шприцем через силиконовую пробку за 1 ч прибавляли раствор гликозилбромид (31) (приготовлен [4] из 348 мг (0.6 ммоль) тетра-О-бензоил-L-фукопиранозы) в 3 мл ацетонитрила. Реакционную смесь перемешивали 1 ч, разбавляли 75 мл хлороформа и 75 мл насыщенного водного раствора КВг, фильтровали через слой целита, который промывали 20 мл хлороформа. Органический слой отделяли, промывали раствором бромистого калия и водой, фильтровали через слой ваты и концентрировали. Остаток растворяли в 2 мл 90% водной трифторуксусной кислоты, выдерживали 1 ч до окончания деацетонирования и упаривали, прибавляя толуол ( $3 \times 5$  мл). Из остатка колоночной хроматографией выделяли 177 мг (65%) дисахарида (37), сироп,  $[\alpha]_D^{30} -163^\circ$  (с 1),  $R_f 0.35$  (А), и 47 мг (17%) диола (47), сироп,  $[\alpha]_D^{30} -258^\circ$  (с 1),  $R_f 0.40$  (А). Спектры  $^1\text{H}$ -ЯМР соединений (37) и (47) приведены в табл. 1.

**Метил-2-О-бензоил-4-О-(2,3,4-три-О-бензоил- $\beta$ -L-фукопиранозил)- $\alpha$ -L-рамнопиранозид (38)** получали из 177 мг (0.27 ммоль) диола (37) в условиях синтеза соединения (27). Выход 1.68 мг (82%), сироп,  $[\alpha]_D^{24} -119^\circ$  (с 1),  $R_f 0.52$  (В). Спектр  $^1\text{H}$ -ЯМР приведен в табл. 1.

**Метил-2-О-бензил-4-О-(2,3,4-три-О-бензил- $\beta$ -L-фукопиранозил)- $\alpha$ -L-рамнопиранозид (42).** К раствору 535 мг (0.72 ммоль) дисахарида (38) и 6.21 мл (1.45 ммоль) 2,4,6-коллидина в 10 мл хлористого метилена при  $20^\circ\text{C}$  прибавляли 296 мг (0.87 ммоль) тритилперхлората и перемешивали 6 ч до окончания образования тритилового эфира (39). Прибавляли 2 мл смеси  $\text{MeOH}-\text{Py}$  (1 : 3), перемешивали 5 мин, разбавляли 20 мл хлороформа, промывали водой ( $3 \times 40$  мл), фильтровали через слой ваты и концентрировали. К остатку прибавляли 10 мл 0.1 М раствора метилата натрия в абс. метаноле и выдерживали 16–20 ч при  $20^\circ\text{C}$ . Раствор деионизовали катионитом КУ-2 ( $\text{H}^+$ ), фильтровали и концентрировали. Остаток промывали гексаном

(5 × 5 мл) и высушивали в вакууме. Полученный тетраол (40) растворяли в 5 мл диметилсульфоксида, прибавляли 404 мг (7.2 ммоль) измельченной гидроокиси калия и 0.61 мл (5.8 ммоль) хлористого бензила, перемешивали 20 ч при 20°C. Полученную смесь разбавляли 30 мл воды и 50 мл хлороформа, органический слой отделяли, промывали водой (3 × 20 мл), фильтровали через слой ваты и концентрировали. Остаток растворяли в 4 мл хлороформа и перемешивали 5 мин при 20°C с 0.7 мл 90% водной трифторуксусной кислоты, разбавляли 20 мл хлороформа и 10 мл воды. Органический слой отделяли, промывали водой (20 мл), насыщенным водным раствором бикарбоната натрия (20 мл) и снова водой (20 мл), фильтровали через слой ваты и концентрировали. Из остатка колоночной хроматографией выделяли 294 мг (87%) дисахарида (42), сироп,  $[\alpha]_D^{27} - 39^\circ$  (с 2),  $R_f$  0.41 (А). Спектр  $^1\text{H}$ -ЯМР приведен в табл. 1.

**Условия реакций гликозилирования при получении защищенных трисахаридов.** Условия А (гликозилирование бензобромманнозой и бензобромфукозой) – см. гликозилирование рамнозида (27) бромидом (31) при синтезе дисахаридов (37) и (47).

**Условия Б (гликозилирование бензобромрамнозой).** Гликозилирование проводится в условиях А, но бензобромрамноза (30) прибавляется в виде раствора в хлористом метиле с концентрацией 1 ммоль в 5 мл.

**Условия В (гликозилирование бензобромглюкозой).** Пример: смесь 71 мг (0.25 ммоль) диола (27), бензобромглюкозы (29) (приготовлена из 350 мг (0.5 ммоль) пента-О-бензоил-D-глюкопиранозы), молекулярных сит 4 Å и 7.5 мл абс. нитрометана перемешивали 30 мин при 20°C в атмосфере сухого аргона, охлаждали до -20...-30°C, шприцем через силиконовую пробку при перемешивании за 30 мин прибавляли раствор 130 мг (0.5 ммоль) трифлата серебра в 3.75 мл абс. нитрометана и перемешивали 20 мин при прежнем охлаждении. Охлаждение снимали, прибавляли 5 мл насыщенного раствора водного тиосульфата натрия и 10 мл хлороформа и фильтровали через слой целита. Органический раствор отделяли, промывали насыщенным раствором тиосульфата натрия (20 мл) и водой (20 мл), фильтровали через слой ваты и концентрировали. Из остатка колоночной хроматографией выделяли 327 мг (80%) трисахарида (33), сироп,  $[\alpha]_D^{27} - 76^\circ$  (с 2),  $R_f$  0.50 (А).

**Получение свободных олигосахаридов (1)–(11), (13)–(16), (24).** Ацилированный продукт растворяли в 10 мл 0.1 М раствора метилата натрия в абс. метаноле и выдерживали 16–20 ч при 20°C. Раствор деионизовали катионитом КУ-2 (H<sup>+</sup>), фильтровали и концентрировали. Остаток распределяли между 10 мл хлороформа и 10 мл воды, водный слой отделяли, промывали хлороформом

(4 × 15 мл) и концентрировали. Из остатка гель-фильтрацией на колонке с фрактогелем TSK HW-40(S) (25–40 мкм,  $V_0$  50 мл) при элюции деионизованной водой выделяли метилгликозиды свободных олигосахаридов, представляющие собой сиропообразные вещества (см. табл. 2).

**Метил-3-О-(α-L-рамнопиранозил)-4-О-(β-L-фукопиранозил)-α-L-рамнопиранозид (12).** 241 мг защищенного производного (44) подвергали каталитическому гидрогенолизу в 4 мл этилацетата и 13 мл этанола над 10% Pd/C при 40°C. Реакционную смесь фильтровали, концентрировали, остаток дебензоилировали как описано выше и получали 92 мг (92%) свободного метилгликозида (12), сироп,  $[\alpha]_D^{27} - 66^\circ$  (с 2).

**Метил-4-О-(α-D-маннопиранозил)-α-L-рамнопиранозид (21).** Дисахарид (61) [17] (92 мг) подвергали гидролизу действием 90% трифторуксусной кислоты в условиях синтеза дисахаридов (37) и (47) и последующему дезацетилированию, как описано для получения олигосахаридов (1)–(16). Получали 53 мг дисахарида (21), выход 93%,  $[\alpha]_D^{27} + 10^\circ$  (с 2).

Работа поддержана грантом РФФИ (№ 93-03-5839).

## СПИСОК ЛИТЕРАТУРЫ

1. Нифантьев Н.Э., Шаиков А.С., Цветков Ю.Е., Хатунцева Е.А., Шерман А.А., Кочетков Н.К. // Биоорган. химия. 1994. Т. 20. С. 1101–1110.
2. Lipkind G.M., Shashkov A.S., Nifant'ev N.E., Kochetkov N.K. // Carbohydr. Res. 1992. V. 237. P. 11–22.
3. Lipkind G.M., Shashkov A.S., Knirel Y.A., Vinogradov E.V., Kochetkov N.K. // Carbohydr. Res. 1988. V. 175. P. 59–75.
4. Нифантьев Н.Э., Бакиновский Л.В., Липкинд Г.М., Шаиков А.С., Кочетков Н.К. // Биоорган. химия. 1991. Т. 17. С. 517–530.
5. Nifant'ev N.E., Lipkind G.M., Shashkov A.S., Kochetkov N.K. // Carbohydr. Res. 1992. V. 223. P. 109–128.
6. Nifant'ev N.E., Shashkov A.S., Lipkind G.M., Kochetkov N.K. // Carbohydr. Res. 1992. V. 237. P. 95–113.
7. Kochetkov N.K., Nifant'ev N.E., Lipkind G.M., Shashkov A.S. // Carbohydr. Res. 1991. V. 221. P. 145–168.
8. Nifant'ev N.E., Amochaeva V.Y., Shashkov A.S., Kochetkov N.K. // Carbohydr. Res. 1993. V. 250. P. 211–230.
9. Амочаева В.Ю., Нифантьев Н.Э., Шаиков А.С., Кочетков Н.К. // Биоорган. химия. 1992. Т. 18. С. 1249–1254.
10. Shashkov A.S., Nifant'ev N.E., Amochaeva V.Y., Kochetkov N.K. // Magn. Res. Chem. 1993. V. 31. P. 599–605.
11. Шаиков А.С., Нифантьев Н.Э., Амочаева В.Ю., Кочетков Н.К. // Биоорган. химия. 1993. Т. 19. С. 633–643.

12. Lipkind G.M., Shashkov A.S., Мамуан S.S., Kochetkov N.K. // Carbohydr. Res. 1988. V. 181. P. 1–12.
13. Мамуан С.С., Липкинд Г.М., Шашиков А.С., Байрамова Н.Э., Николаев А.В., Кочетков Н.К. // Био-орган. химия. 1988. Т. 14. С. 205–215.
14. Nifant'ev N.E., Аточаева V.Y., Shashkov A.S., Kochetkov N.K. // Carbohydr. Res. 1993. V. 242. P. 77–89.
15. Levene P.A., Muscat I.E. // J. Biol. Chem. 1934. V. 105. P. 431–442.
16. Betaneli V.I., Ovchinnikov M.V., Backinowsky L.V., Kochetkov N.K. // Carbohydr. Res. 1979. V. 76. P. 252–256.
17. Russel D.G., Senior J.B. // Can. J. Chem. 1980. V. 58. P. 22–29.

## Synthesis and Studies on NMR Spectra and Conformations of Branched Oligosaccharides. 16.<sup>1</sup> Synthesis of 3,4-Di-*O*-Glycosylated Derivatives of Methyl- $\alpha$ -*L*-Rhamnopyranoside

E. A. Khatuntseva, A. S. Shashkov, and N. E. Nifant'ev<sup>2</sup>

Zelinskii Institute of Organic Chemistry, Russian Academy of Sciences,  
Leninskii pr. 47, Moscow, GSP-1, 117913 Russia

**Abstract**—A series of 3,4-di-*O*-glycosylated derivatives of methyl  $\alpha$ -*L*-rhamnopyranoside with  $\alpha$ -*D*-manno-,  $\beta$ -*D*-gluco-,  $\alpha$ -*L*-rhamno-, and  $\beta$ -*D*-fucopyranosyl substituents at O-3 and O-4 were synthesized by the glycosylation of methyl 2-*O*-benzoyl- $\alpha$ -*L*-rhamnopyranoside and the selectively protected (1 $\rightarrow$ 3)- and (1 $\rightarrow$ 4)-linked disaccharide precursors.

*Key words:* branched oligosaccharides, <sup>13</sup>C NMR spectroscopy, synthesis.

<sup>1</sup> See [1] for communication 15.

<sup>2</sup> To whom correspondence should be addressed.